

УДК 621.375.026

АНАЛИЗ РАБОТЫ УСИЛИТЕЛЬНОГО КАСКАДА С АВТОМАТИЧЕСКОЙ РЕГУЛИРОВКОЙ ПОТРЕБЛЯЕМОГО ТОКА

А.А. Титов

Томский государственный университет систем управления и радиоэлектроники

E-mail: titov_aa@rk.tusur.ru

Получены соотношения для расчета напряжения источника питания и области регулирования потребляемого тока сверхширокополосного усилительного каскада, в случае работы детектора системы регулирования в режиме выделения огибающей амплитудно-модулированного колебания и в режиме пикового детектирования. Приведены формулы для расчета максимально допустимого значения круговой частоты модуляции усиленного сигнала и постоянной времени нагрузки детектора, соответствующие заданным допустимым потерям выходной мощности, обусловленным непостоянством проводимости передачи системы регулирования.

В [1, 2] показано, что усилительный каскад с автоматической регулировкой потребляемого тока (АРТ) позволяет получить в нагрузке практически вдвое большую мощность по сравнению с каскадом с фиксированной рабочей точкой (ФРТ), при одновременном увеличении среднего значения коэффициента полезного действия. Однако отсутствие методик расчета напряжения питания и области регулирования потребляемого тока каскада с АРТ в случае работы детектора системы регулирования в режиме выделения огибающей амплитудно-модулированного колебания и в режиме пикового детектирования затрудняет разработку каскадов с АРТ. Кроме того, остался не исследованным вопрос влияния зависимости коэффициента передачи детектора от частоты усиленного сигнала на характеристики каскада с АРТ.

Цель работы – вывод соотношений для расчета напряжения питания и области регулирования потребляемого тока каскада с АРТ в случае работы детектора системы регулирования в режиме выделения огибающей амплитудно-модулированного колебания и в режиме пикового детектирования, а также исследование влияния зависимости коэффициента передачи детектора от частоты усиленного сигнала на характеристики каскада с АРТ.

На рис. 1 приведена функциональная схема усилителя с АРТ, а на рис. 2 принципиальная схема одного из вариантов ее реализации.

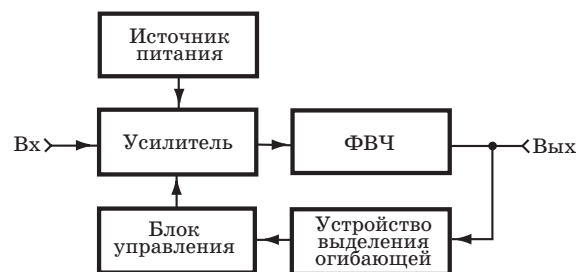


Рис. 1. Функциональная схема усилителя с АРТ

Усилитель имеет следующие линейные характеристики: коэффициент усиления 13,5 дБ; полоса

пропускания 1...600 МГц; неравномерность амплитудно-частотной характеристики $\pm 0,5$ дБ; уровень выходной мощности, соответствующий сжатию коэффициента усиления на 1 дБ, 3 Вт; потребляемый ток в режиме молчания 0,02 А; в режиме номинальной выходной мощности – 0,32 А; сопротивление генератора и нагрузки 50 Ом.

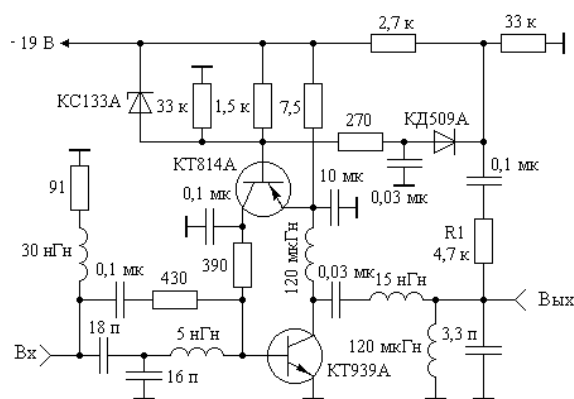


Рис. 2. Принципиальная схема усилительного каскада с АРТ

Будем полагать известными коэффициенты использования транзистора по току $\Psi = I_{mem}/I_{k0}$ и по напряжению $\xi = U_{mem}/U_{k0}$, где I_{mem} – максимальное значение амплитуды выходного тока, отдаваемого транзистором, I_{k0} – ток в рабочей точке транзистора, U_{mem} – максимальное значение амплитуды выходного напряжения, отдаваемого транзистором, U_{k0} – напряжение в рабочей точке транзистора [2]. Кроме того, будем считать, что анализируется работа дроссельного каскада, а сопротивление нагрузки R_n и максимальные значения напряжения питания E_{nm} и потребляемого тока I_{nm} выбраны из условия получения максимальной выходной мощности, то есть выполняется условие [2]:

$$R_n = \xi E_{nm} / \Psi I_{nm}.$$

При линейном усилении АМ сигналов мгновенные значения выходного напряжения $u_{вых}$ и выходного тока $i_{вых}$, усилительного каскада с АРТ, можно представить в виде [3]:

$$\left. \begin{aligned} u_{\text{вых}} &= \xi E_{nm} (1 + m \cos \Omega t) \cos \omega t / (1 + m); \\ i_{\text{вых}} &= u_{\text{вых}} / R_n, \end{aligned} \right\} (1)$$

где m – глубина модуляции; Ω – круговая частота модулирующего колебания; ω – круговая частота несущего колебания.

В соответствии с (1) средняя выходная мощность $\bar{P}_{\text{вых}}$ усилительного каскада с АРТ равна:

$$\begin{aligned} \bar{P}_{\text{вых}} &= \frac{1}{4\pi^2} \int_0^{2\pi} \int_0^{2\pi} u_{\text{вых}} i_{\text{вых}} d\Omega t \cdot d\omega t = \\ &= \xi^2 E_{nm}^2 (1 + m^2/2) / 2R_n (1 + m)^2. \end{aligned} (2)$$

В усилительном каскаде с АРТ напряжение питания постоянно $e_n = E_{nm}$, а мгновенное значение потребляемого тока изменяется по закону:

$$i_n = \xi E_{nm} (1 + m \cos \Omega t) / \Psi R_n (1 + m).$$

В этом случае мощность, потребляемая каскадом с АРТ P_{nT} , равна:

$$P_{nT} = \frac{1}{2\pi} \int_0^{2\pi} e_n i_n d\Omega t = \xi E_{nm}^2 / \Psi R_n (1 + m). (3)$$

Из (2) и (3) следует, что КПД каскада с АРТ определяется соотношением:

$$\eta_T = \xi \Psi (1 + m^2/2) / 2(1 + m). (4)$$

Для сравнения найдем КПД усилительного каскада с ФРТ. Так как в каскаде в ФРТ выполняются условия:

$$e_n = E_{nm}; i_n = I_{nm},$$

то его потребляемая мощность $P_{n\Phi}$ может быть рассчитана по формуле:

$$P_{n\Phi} = \xi E_{nm}^2 / \Psi R_n,$$

а КПД:

$$\eta_\Phi = \bar{P}_{\text{вых}} / P_{n\Phi} = \xi \Psi (1 + m^2/2) / 2(1 + m)^2. (5)$$

Из (4) и (5) следует, что при усилении АМ колебаний КПД усилительного каскада с АРТ при большой глубине модуляции вдвое превышает КПД каскада с фиксированной рабочей точкой.

Для оценки потерь выходной мощности, обусловленных инерционностью системы регулирования по отношению к огибающей ВЧ сигнала, найдем соотношения для расчета E_{nm} и I_{nm} при работе каскада в режиме с ФРТ, а также для случаев работы детектора системы регулирования в режиме выделения огибающей амплитудно-модулированного колебания и в режиме пикового детектирования.

При работе усилительного каскада с ФРТ, ток и напряжение в точке покоя могут быть найдены из соотношений [2]:

$$\left. \begin{aligned} E_{nm} &= \sqrt{P_{\kappa \cdot \text{доп}} \Psi R_n / \xi}; \\ I_{nm} &= \sqrt{P_{\kappa \cdot \text{доп}} \xi / \Psi R_n}, \end{aligned} \right\} (6)$$

где $P_{\kappa \cdot \text{доп}}$ – максимально допустимая постоянная рассеиваемая мощность коллектора.

В усилительном каскаде с инерционной системой регулирования, в соответствии с (1), мгновенные значения напряжения питания и потребляемого тока равны:

$$e_n = E_{nm}; i_n = I_{nm},$$

а потребляемая им мощность определяется выражением (3). При этом, минимальное значение отдаваемой усилительным каскадом мощности, как следует из (2), составляет величину:

$$\bar{P}_{\text{вых}} = 1,5 \xi^2 E_{nm}^2 / 8R_n.$$

Используя указанные выражения, найдем максимальные значения тока и напряжения в рабочей точке транзистора усилительного каскада с АРТ, при которых мощность, рассеиваемая на транзисторе $P_{\text{рас}}$, не превышает $P_{\kappa \cdot \text{доп}}$:

$$\left. \begin{aligned} E_{nm} &= \sqrt{P_{\kappa \cdot \text{доп}} R_n / \xi (1/\Psi - 1,5 \xi/8)}; \\ I_{nm} &= \sqrt{P_{\kappa \cdot \text{доп}} \xi / \Psi^2 R_n (1/\Psi - 1,5 \xi/8)}. \end{aligned} \right\} (7)$$

Минимальное значение потребляемого тока $I_{n \min}$, при известном значении коэффициента использования транзистора по току, определяется выражением:

$$I_{n \min} = (1 - \Psi) I_{nm}.$$

В каскаде с безынерционной системой АРТ выполняется условие [2]:

$$E_{nm} I_{nm} = P_{\kappa \cdot \text{доп}} / (1 - \xi \Psi / 2),$$

и в случае $P_{\text{рас}} = P_{\kappa \cdot \text{доп}}$ получим:

$$\left. \begin{aligned} E_{nm} &= \sqrt{P_{\kappa \cdot \text{доп}} \Psi R_n / \xi (1 - \xi \Psi / 2)}; \\ I_{nm} &= \sqrt{P_{\kappa \cdot \text{доп}} \xi / \Psi R_n (1 - \xi \Psi / 2)}. \end{aligned} \right\} (8)$$

Из (6–8) найдем, что максимальные значения выходной мощности каскада с ФРТ $P_{\text{вых.}\Phi}$, каскада с инерционной $P_{\text{вых.И}}$ и каскада с безынерционной $P_{\text{вых.Б}}$ системами регулирования равны:

$$\left. \begin{aligned} P_{\text{вых.}\Phi} &= \xi \Psi P_{\kappa \cdot \text{доп}} / 2; \\ P_{\text{вых.И}} &= \xi \Psi P_{\kappa \cdot \text{доп}} / 2 (1 - 1,5 \xi \Psi / 8); \\ P_{\text{вых.Б}} &= \xi \Psi P_{\kappa \cdot \text{доп}} / (2 - \xi \Psi), \end{aligned} \right\} (9)$$

или, после нормирования относительно $\xi \Psi P_{\kappa \cdot \text{доп}} / 2$:

$$\left. \begin{aligned} P_{\text{вых.}\Phi} &= 1; \\ P_{\text{вых.И}} &= 1/(1 - 1,5\xi\Psi/8); \\ P_{\text{вых.Б}} &= 2/(2 - \xi\Psi). \end{aligned} \right\} \quad (10)$$

Зависимости (10) представлены на рис. 3.

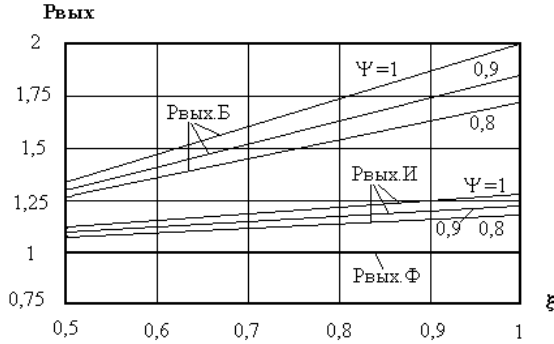


Рис. 3. Сравнительная оценка относительных уровней выходной мощности каскадов с инерционной и безинерционной системами регулирования

Рассмотрение этих зависимостей позволяет сделать следующие выводы. Максимальный выигрыш по уровню выходной мощности усилительного каскада с инерционной АРТ, по сравнению с усилительным каскадом с ФРТ, составляет 1,25 раза, а для безынерционной АРТ – 2 раза.

Особенностью работы детектора системы АРТ является требование обеспечения независимости его коэффициента передачи K_d от частоты усиливаемого ВЧ колебания и отсутствия искажений закона изменения огибающей этого колебания на выходе детектора. Необходимость обеспечения указанных требований объясняется следующим.

Известно [2], что в усилителях класса А должно выполняться условие:

$$i_n \geq I_{\min} + I_{m\phi},$$

где $I_{m\phi}$ – амплитуда выходного тока усилительного каскада; $I_{\min} = i_n(1 - \Psi)$ – остаточный ток.

В усилителе с АРТ мгновенное значение потребляемого тока определяется выражением:

$$i_n = I_{\min} + U_{m\phi} G_n,$$

где $U_{m\phi}$ – амплитуда выходного напряжения усилительного каскада; G_n – проводимость передачи системы регулирования.

Поэтому при выполнении условия:

$$i_n = I_{\min} + I_{m\phi} = I_{\min} + U_{m\phi} G_{n \min},$$

где $G_{n \min}$ – минимально допустимое значение G_n , при котором усилитель с АРТ работает без отсечки коллекторного тока, в усилителе возможна реализация режима полного использования транзистора по мощности. В каскаде с безынерционной системой АРТ это соответствует выбору E_{nm} и I_{nm} по соотношениям (8). В случае если значение проводимости передачи системы регулирования окажется

больше $G_{n \min}$, при максимальном значении выходной мощности i_n окажется больше I_{nm} , и транзистор выйдет из строя. Оценим потери выходной мощности, обусловленные зависимостью проводимости передачи системы регулирования от частоты, что связано с частотной зависимостью коэффициента передачи детектора устройства выделения огибающей.

При $G_n = G_{n \min}$ максимальное значение выходной мощности усилительного каскада с АРТ определяется соотношением (9). В случае изменения G_n в пределах от G_{\min} до G_{\max} E_{nm} и I_{nm} могут быть найдены из системы уравнений:

$$\left. \begin{aligned} \xi E_{nm} \Delta G_n / \Psi I_{nm} &= R_n; \\ E_{nm} I_{nm} - \xi^2 E_{nm}^2 / 2 R_n &= P_{\kappa \text{доп}}, \end{aligned} \right\}$$

где $\Delta G_n = G_{\max} / G_{\min}$.

Откуда получим:

$$\left. \begin{aligned} E_{nm} &= \sqrt{P_{\kappa \text{доп}} R_n \Psi / \xi (\Delta G_n - \xi \Psi / 2)}; \\ I_{nm} &= \sqrt{P_{\kappa \text{доп}} \xi \Delta G_n^2 / R_n \Psi (\Delta G_n - \xi \Psi / 2)}. \end{aligned} \right\} \quad (11)$$

Максимальная выходная мощность, в этом случае, равна:

$$P_{\text{вых}2} = P_{\kappa \text{доп}} \xi \Psi / (2 \Delta G_n - \xi \Psi),$$

и относительные потери выходной мощности, обусловленные непостоянством G_n , составляют:

$$\begin{aligned} \Delta P &= (P_{\text{вых}B} - P_{\text{вых}2}) / P_{\text{вых}B} = \\ &= 1 - (2 - \xi \Psi) / (2 \Delta G_n - \xi \Psi). \end{aligned} \quad (12)$$

Так как реализация постоянного коэффициента передачи элементов системы АРТ за исключением детектора не вызывает трудностей, будем полагать, что неравномерность G_n полностью определяется неравномерностью коэффициента передачи детектора.

В диодном детекторе уменьшение его K_d при изменении частоты несущего колебания возникает вследствие сопоставимости постоянной времени нагрузки детектора и периода времени ВЧ колебания $\tau_{B\phi}$ [4, 5]. Для нахождения зависимости K_d от частоты ВЧ сигнала воспользуемся теорией идеального диодного детектора [4, 5]. В момент запирающего диода детектора разряд конденсатора нагрузки происходит по закону:

$$U_{nd}(t) = U_{n1} e^{-\frac{t-t_1}{C_{nd} R_{nd}}},$$

где U_{n1} – напряжение на сопротивлении нагрузки детектора в момент запирающего диода; t_1 – время запирающего диода; C_{nd} , R_{nd} – емкость и сопротивление нагрузки детектора.

При детектировании сильных сигналов R_{nd} выбирают из условия минимального угла отсечки: $SR_{nd} \geq 100$, где S – крутизна статической характеристики диода [5]. Поэтому можно принять: $t_1 = 0$, $U_{n1} = U_{m\phi}$. В этом случае среднее значение напряже-

ния $U_{нд}$ за период воздействия несущей равно:

$$U_{нсп} = \frac{1}{2\pi} \int_0^{2\pi} U_{нд}(t) d\omega t = \frac{\omega \tau_{нд} U_{мс}}{2\pi} \left(1 - e^{-\frac{2\pi}{\omega \tau_{нд}}} \right),$$

где $\omega = 2\pi/\tau_{вч}$; $\tau_{нд} = C_{нд}R_{нд}$ – постоянная времени нагрузки детектора.

После разложения $\exp(-2\pi/\omega \tau_{нд})$ в ряд Тейлора [6] имеем:

$$U_{нсп} = \frac{\omega \tau_{нд} U_{мс}}{2\pi} \left[1 - \sum_{m=0}^{\infty} (-1)^m \left(\frac{2\pi}{\omega \tau_{нд}} \right)^m \right].$$

Используя три первых члена ряда, с точностью не хуже $[(2\pi\tau_{вч}/\tau_{нд})^2/6]100\%$ получим [6]:

$$U_{нсп} = U_{мс} (1 - \pi/\omega \tau_{нд}).$$

Откуда найдем:

$$\Delta G_n = 1/(1 - \pi/\omega \tau_{нд}). \quad (13)$$

Подставляя (13) в (12) и, полагая известной нижнюю круговую частоту полосы пропускания усилителя ω_n , получим зависимость минимально допустимого значения постоянной времени детектора $\tau_{нд \min}$ от допустимой величины уменьшения максимального уровня выходной мощности усилителя:

$$\tau_{нд \min} = \frac{\pi}{\omega_n \left[1 - 1/\left(\frac{1 - \xi \Psi/2}{1 - \Delta P} + \frac{\xi \Psi}{2} \right) \right]}. \quad (14)$$

Требование отсутствия искажений закона изменения огибающей ВЧ сигнала в детекторе системы АРТ связано с увеличением потребляемой усилителем мощности при переходе детектора в режим пикового детектирования. Согласно работам [4, 5] при усилении ВЧ колебаний искажения закона изменения огибающей ВЧ сигнала будут отсутствовать в случае, если выполняется условие:

$$\tau_{нд} \leq \sqrt{1 - m^2}/m\Omega$$

Из совместного решения (13) и (14) получим:

$$\Omega \leq \frac{\sqrt{1 - m^2} \omega_n \left[1 - 1/\left(\frac{1 - \xi \Psi/2}{1 - \Delta P} + \frac{\xi \Psi}{2} \right) \right]}{m\pi} \quad (15)$$

Неравенство (15) позволяет рассчитать максимальное значение круговой частоты модулирующего колебания Ω_m , при котором система АРТ осуществляет изменение потребляемого тока по закону огибающей с учетом допустимых потерь выходной мощности, обусловленных зависимостью K_ϕ от частоты несущего колебания. При усилении сигналов с частотой модуляции менее Ω_m , $E_{нм}$ и $I_{нм}$ рассчиты-

ваются по (11). При необходимости усиления сигналов с $\Omega \gg \Omega_m$, расчет $E_{нм}$ и $I_{нм}$ следует производить по формулам, полученным из (7) с учетом ΔG_n :

$$\left. \begin{aligned} E_{нм} &= \sqrt{P_{к.доп} R_n / \xi (\Delta G_n / \Psi - 1,5 \xi / 8)}; \\ I_{нм} &= \sqrt{P_{к.доп} \xi / \Psi^2 R_n (\Delta G_n / \Psi - 1,5 \xi / 8)}. \end{aligned} \right\} \quad (16)$$

Для примера осуществим расчет $E_{нм}$, $I_{нм}$, $C_{нд}$, $R_{нд}$, Ω_m , $P_{вых.Ф}$, $P_{вых.И}$, $P_{вых.Б}$ каскада, принципиальная схема которого приведена на рис. 2, при его работе в режиме с ФРТ и в режиме с использованием инерционной и безынерционной систем регулирования. При расчетах будем полагать, что максимальная глубина модуляции при высоких частотах модуляции равна 0,7 [5], коэффициенты Ψ и ξ транзистора КТ939А [7] равны 0,95 и 0,9 соответственно, $P_{к.доп} = 3$ Вт, допустимое значение $\Delta P = 0,02$, $R_\psi = 50$ Ом.

В случае работы каскада в режиме с ФРТ из (6) и (9) получим: $E_{нм} = 12,6$ В; $I_{нм} = 0,238$ А; $P_{вых.Ф} = 1,28$ Вт. В соответствии с (12) значению $\Delta P = 0,02$ соответствует $\Delta G_n = 1,012$. Для каскада с инерционной системой регулирования из (16) определим: $E_{нм} = 15,2$ В; $I_{нм} = 0,258$ А. Максимальное значение выходной мощности каскада с инерционной системой регулирования согласно (9), с учетом ΔP , равно: $P_{вых.И}(1 - \Delta P) = 1,5$ Вт. Для каскада с безынерционной системой регулирования из (11) определим: $E_{нм} = 16,45$ В; $I_{нм} = 0,316$ А. Максимальное значение выходной мощности каскада с безынерционной системой регулирования согласно (9), с учетом ΔP , равно: $P_{вых.Б}(1 - \Delta P) = 2,2$ Вт. Нижняя граничная частота полосы пропускания каскада равна 1 МГц. С учетом этого, из (13) найдем: $\tau_{нд \min} = 43 \cdot 10^{-6}$ с. Сопротивление нагрузки детектора системы регулирования, как следует из схемы приведенной на рис. 2, равно: $R_{нд} = 1500$ Ом. Теперь из равенства $\tau_{нд} = C_{нд}R_{нд}$ определим: $C_{нд} = \tau_{нд \min}/R_{нд} = 28,7$ нФ. И, наконец, используя (15) рассчитаем: $\Omega_m = 23,2$ кГц. Проводимость передачи системы регулирования устанавливается выбором номинала резистора R_ψ . Стабилитрон КС133А, включенный в цепи базы транзистора КТ814А, необходим для ограничения сигнала управления значением, соответствующим заданной максимальной величине тока потребления.

Таким образом, приведенные соотношения позволяют осуществлять проектирование усилительных каскадов с АРТ, обеспечивающих получение максимальной выходной мощности в нагрузке при заданном значении максимально допустимой постоянной рассеиваемой мощности коллектора и в случае работы детектора системы регулирования в режиме выделения огибающей амплитудно-модулированного колебания и в режиме пикового детектирования.

СПИСОК ЛИТЕРАТУРЫ

1. Титов А.А. Нелинейные искажения в мощной широкополосной усилительной ступени с автоматической регулировкой потребляемого тока // Известия вузов. Сер. Радиоэлектроника. — 2001. — № 11. — С. 71–77.
2. Широкополосные радиопередающие устройства / Под ред. О.В. Алексеева. — М.: Связь, 1978. — 304 с.
3. Гоноровский И.С. Радиотехнические цепи и сигналы. — М.: Советское радио, 1963. — 696 с.
4. Радиоприемные устройства / Под общей ред. В.И. Сифорова. — М.: Советское радио, 1974. — 560 с.
5. Чистяков Н.И., Сидоров М.В., Мельников В.С. Радиоприемные устройства / Под ред. Н.И. Чистякова. — М.: Государственное изд-во литературы по вопросам связи и радио, 1959. — 895 с.
6. Бронштейн И.Н., Семендяев Е.А. Справочник по математике / Пер. с нем.; Под ред. Г. Гроше и В. Циглера. — М.: Наука, 1980. — 976 с.
7. Петухов В.М. Полевые и высокочастотные биполярные транзисторы средней и большой мощности и их зарубежные аналоги: Справочник. В 4-х томах. Т. 3. — М.: КУБК-а, 1997. — 672 с.